

УДК[677.075:62]:620.174

СИЛОВОЕ ВЗАИМОДЕЙСТВИЕ И ПРОСТРАНСТВЕННОЕ ДЕФОРМИРОВАНИЕ ПЕТЕЛЬ С ВИТКАМИ

В.П. ЩЕРБАКОВ, В.А. ЗАВАРУЕВ, О.Н. ЛАКЕЕВА, О.С. КОТОВИЧ

(Московский государственный текстильный университет им. А.Н. Косыгина)

В [1] описаны структура и способ получения кулирного трикотажа, состоящего из петель, игольные дуги которых содержат дополнительный виток, образованный обкручиванием нитью иглы при прокладывании. Такой трикотаж обладает минимальной закручиваемостью и распускаемостью по сравнению с обычной кулирной гладью. Там же отмечено, что виток является составной частью игольной дуги основной петли. Его форма и размеры определяют параметры петельной структуры, а сам виток отклоняется в противоположную сторону остова петли.

Можно считать, что в условиях большой жесткости нитей возникает пространственная структура. Именно пространственное расположение арматуры слоистых и волокнистых композитов привлекает внимание специалистов в области композиционных материалов. Введение пространственного каркаса позволяет значительно улучшить характеристики композитов, увеличить сопротивление сдвигу и поперечному отрыву, повысить долговечность материала.

В предлагаемой статье дается математическое описание формы петли с витками методами геометрически нелинейной упругой нити, силовое взаимодействие петель между собой, вычисляются форма и размеры витка, определяется перемещение витка.

Расчеты проведены для петель, образованных из медной проволоки с довольно большой жесткостью. Именно здесь в явном виде проявляются особенности про-

странственного расположения основных петель и витков. Уравнения, формулы и результаты могут быть распространены на любые нити.

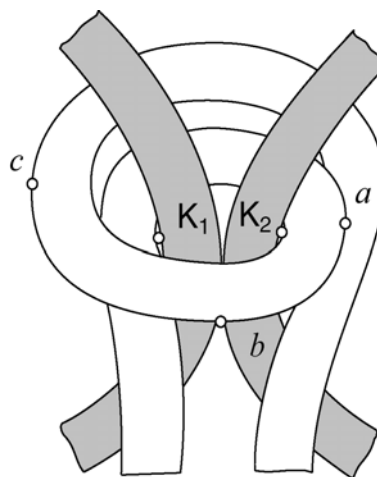


Рис. 1

На рис. 1 представлены петли с витками, которые взаимодействуют друг с другом в области контакта.

Детальное изучение структуры петель с витками и анализ петлеобразования позволяет считать, что петли взаимодействуют между собой в двух точках K_1 и K_2 . Стремление деформированной при вязании упругой нити восстановить естественную форму приводит к возникновению усилий, действующих в области контакта смежных петель. Результирующей распределенных здесь сил является сила P , которая так же, как и сила трения между нитями контактирующих петель, есть результат взаимодействия двух соприкасающихся петель.

Реальная область контакта расположена вне осевой линии упругой нити. Но именно для осевой линии написаны все уравнения равновесия, и на осевой линии размещена точка, обозначенная на рис. 2 как точка O , которая принадлежит линии действия силы P и которую условно назовем точкой контакта.

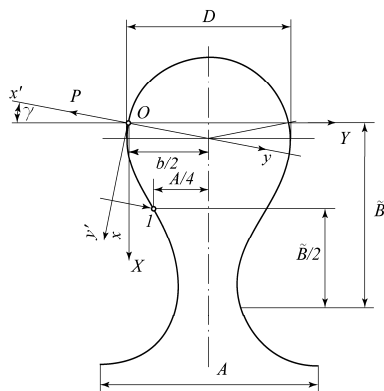


Рис. 2

Направление и величина силы P неизвестны. Скольжению нитей относительно друг друга препятствует сила трения. Хотя роль трения и важна, в нашей задаче нет необходимости определять ее величину. Использование принятого в специальной литературе соотношения $\gamma = \arctg k$, где γ – угол между касательной в точке O и направлением петельных столбиков; k – коэффициент трения нить о нить, некорректно.

Во-первых, на сегодняшний день существует большое число методов, способов и средств определения коэффициента трения. Дать точную оценку величины k невозможно, по крайней мере, в нашем случае. Приближенное же определение коэффициента трения делает бессмысленным то уточнение, которое дает предлагаемый здесь метод расчета по сравнению с распространенным в технологии трикотажа геометрическим подходом.

Во-вторых, угол γ , являющийся по существу углом трения, связан не с реальной нитью, а с воображаемой нематериальной осевой линией и не равен действительному углу трения.

Рассмотрим рис. 2. В силу симметрии петли длина нити в ней [2]:

$$L = 4 \left[\ell + \left(\frac{\pi}{2} + \gamma \right) D \right] + \pi D. \quad (1)$$

Здесь ℓ – длина упругой линии $O1$; D – диаметр окружности, являющейся формой игольной дуги и витка. Величины ℓ , γ , D неизвестны и подлежат определению.

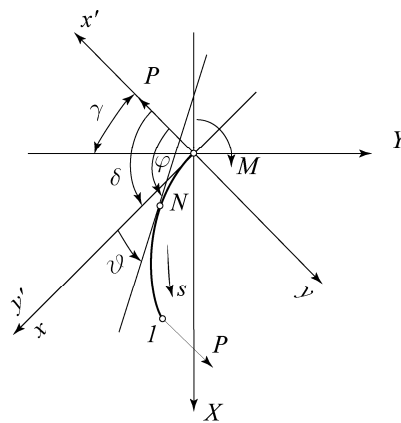


Рис. 3

Исследуем равновесие упругой линии $O1$ (рис.3).

В точке O введем три системы координат.

1. Систему $x'y'$, ориентированную по направлению силы, приложенной в начальной точке O .

2. Систему координат xu , ориентированную по касательной и нормали к упругой линии в начальной точке O .

3. Систему координат XY , ориентированную соответственно по направлениям петельных столбиков и петельных рядов.

Точное уравнение равновесия упругой линии в системе $x'y'$ записывается в безразмерном виде [3]:

$$\ell^2 \frac{d^2 \varphi}{ds^2} = -\omega^2 \sin^2 \varphi. \quad (2)$$

Здесь $\omega = \sqrt{\frac{P \ell^2}{H}}$ – безразмерный силовой коэффициент подобия (H – жесткость нити при изгибе).

Обозначим через $F(\alpha)$ эллиптический интеграл первого рода:

$$F(\alpha) = \int_0^{\alpha} \frac{d\alpha}{\sqrt{1-k^2 \sin^2 \alpha}}.$$

После интегрирования уравнения (2) получим

$$\omega \frac{s}{\ell} = F(\alpha) - F(\alpha_0). \quad (3)$$

Запишем форму упругой линии в координатах $x'(s)$ и $y'(s)$:

$$\frac{x'}{\ell} = \frac{2}{\omega} [E(\alpha) - E(\alpha_0)] - \frac{s}{\ell}, \quad (4)$$

$$\frac{y'}{\ell} = \frac{2}{\omega} k(\cos \alpha_0 - \cos \alpha).$$

Здесь через $E(\alpha)$ обозначен эллиптический интеграл второго рода:

$$E(\alpha) = \int_0^{\alpha} \sqrt{1-k^2 \sin^2 \alpha} d\alpha.$$

Перейдем к системе координат xu . Получим

$$\frac{x}{\ell} = \frac{x'}{\ell} \cos \delta + \frac{y'}{\ell} \sin \delta, \quad (5)$$

$$\frac{y}{\ell} = \frac{y'}{\ell} \cos \delta - \frac{x'}{\ell} \sin \delta.$$

Рассмотрим граничные условия для рассматриваемой упругой нити. В концевой точке 1 упругой линии отсутствует изгибающий момент, поэтому кривизна $\frac{d\varphi}{ds}$ здесь равна нулю. С учетом предыдущего положения о нулевой кривизне в точке 1 будем иметь:

$$2k \cos \alpha_1 = 0. \quad (6)$$

Кроме того, в данной схеме изгиба $\vartheta_0 = 0$ и $\delta = 90^\circ$. Примем во внимание, что $\varphi = \vartheta + \delta$. Так как $\varphi = 2 \arcsin(k \sin \alpha)$, то второе граничное условие дает

$$k \sin \alpha_0 = \sin 45^\circ. \quad (7)$$

Для определения третьего эллиптического параметра имеем

$$F(\alpha_1) - F(\alpha_0) = \sqrt{\frac{P \ell^2}{H}}. \quad (8)$$

Три уравнения (6)...(8) определяют три эллиптических параметра – модуль эллиптического интеграла k , его амплитуды α_0 и $\alpha_1 = 90^\circ$.

Если в нашей задаче $\delta = 90^\circ$, то имеем $x = y'$ и $y = -x'$.

Переход к системе координат X, Y определится формулами

$$\frac{X}{\ell} = \frac{x}{\ell} \cos \gamma + \frac{y}{\ell} \sin \gamma, \quad (9)$$

$$\frac{Y}{\ell} = \frac{y}{\ell} \cos \gamma - \frac{x}{\ell} \sin \gamma.$$

Уточненный расчет формы и длины нити в петле должен предусматривать учет двойкой кривизны нити в петле, возникающей вследствие перехода нити с лицевой стороны на изнаночную и обратно. При этом основные уравнения и формулы плоской петли распространяются на пространственную нить.

Если высота петельного ряда реального трикотажа равна B , то для плоской петли этот параметр определится выражением $\tilde{B} = \frac{B \psi}{\sin \psi}$, где ψ – угол между касательной в точке контакта O и плоскостью полотна.

Координата концевой точки 1: $X_1 = \frac{\tilde{B}}{2}$. Вторая координата определяется из соотношения $A = 2 \left(b - \frac{d}{\cos \gamma} \right)$, где A – петельный шаг; b – ширина петли в точке контак-

та O ; d – диаметр нити.

С учетом $b = D \cos \gamma$ получаем координату концевой точки 1:

$$Y_1 = \frac{d}{2 \cos \gamma}.$$

Диаметр игольной дуги D вычисляется из моментного коэффициента подобия

$$\beta_0 = \frac{M_0}{\sqrt{PH}}:$$

$$D = \frac{H}{k \cos \alpha_0 \sqrt{PH}}.$$

Таким образом, для вычисления пяти неизвестных P , ℓ , k , α_0 , γ запишем пять уравнений:

$$k \sin \alpha_0 = 0,707,$$

$$\int_0^{\frac{\pi}{2}} \frac{d\alpha}{\sqrt{1-k^2 \sin^2 \alpha}} - \int_0^{\alpha_0} \frac{d\alpha}{\sqrt{1-k^2 \sin^2 \alpha}} = \sqrt{\frac{P\ell^2}{H}},$$

$$\frac{\tilde{B}}{2\ell} = \frac{2}{\sqrt{\frac{P\ell^2}{H}}} k \cos \alpha_0 \cos \gamma + \left[1 - \frac{2}{\sqrt{\frac{P\ell^2}{H}}} \left(\int_0^{\frac{\pi}{2}} \sqrt{1-k^2 \sin^2 \alpha} d\alpha - \int_0^{\alpha_0} \sqrt{1-k^2 \sin^2 \alpha} d\alpha \right) \right] \sin \gamma,$$

$$\frac{d}{2\ell \sin \gamma} = \left[1 - \frac{2}{\sqrt{\frac{P\ell^2}{H}}} \left(\int_0^{\frac{\pi}{2}} \sqrt{1-k^2 \sin^2 \alpha} d\alpha - \int_0^{\alpha_0} \sqrt{1-k^2 \sin^2 \alpha} d\alpha \right) \right] \cos \gamma - \frac{2}{\sqrt{\frac{P\ell^2}{H}}} k \cos \alpha_0 \sin \gamma,$$

$$L = 4 \left[\ell + \left(\frac{\pi}{2} - \gamma \right) \frac{H}{2k \cos \alpha_0 \sqrt{PH}} \right] + \frac{\pi H}{k \cos \alpha_0 \sqrt{PH}}.$$

Кулирный трикотаж с длиной нити в петле $L = 30$ мм, петельным шагом $A = 5$ мм и высотой петельного ряда $B = 4$ мм выработан из медной проволоки диаметром $d=0,8$ мм, состоящей из тридцати элементарных проволок диаметром 75 мкм.

Жесткость одной элементарной проволоки при модуле упругости $E=1,1 \cdot 10^7 \frac{\text{сН}}{\text{мм}^2}$ и

осевом моменте инерции

$$I = \frac{\pi d^4}{64} = 1,553 \cdot 10^{-6} \text{ мм}^4$$

принимает значение $H_1 = EI = 17,08 \text{ сН} \cdot \text{мм}^2$. Проволока лишь слегка подкручена, поэтому ее жесткость равна сумме жесткостей составляющих 30 элементарных проволок – $H_1 = 512,5 \text{ сН} \cdot \text{мм}^2$.

Высота петельного ряда плоской петли \tilde{B} , если угол $\psi = 29,7^\circ$ [2], составляет 4,2 мм.

Численное решение приведенной выше

системы уравнений дает: $P = 143,061 \text{ сН}$; $\ell = 2,171 \text{ мм}$; $k = 0,879$; $\alpha_0 = 0,934 \text{ рад}$; $\gamma = 0,197 \text{ рад}$.

Диаметр витка:

$$D = \frac{512,5}{0,879 \cdot \cos 0,934 \cdot \sqrt{143,061 \cdot 512,5}} = 3,621 \text{ мм}.$$

Экспериментально определенная величина диаметра витка $D = 3,8 \text{ мм}$.

Сравнение полученного нами значения диаметра с действительным показывает соответствие отображения изучаемого нового трикотажа с витками в математическом аппарате.

Теперь, когда известны сила контактного взаимодействия петель P и ее направление γ , решим задачу о пространственном деформировании дополнительного витка. Следует найти величину его перемещения относительно плоскости полотна, а более конкретно, найти перемещение точки b (рис. 1).

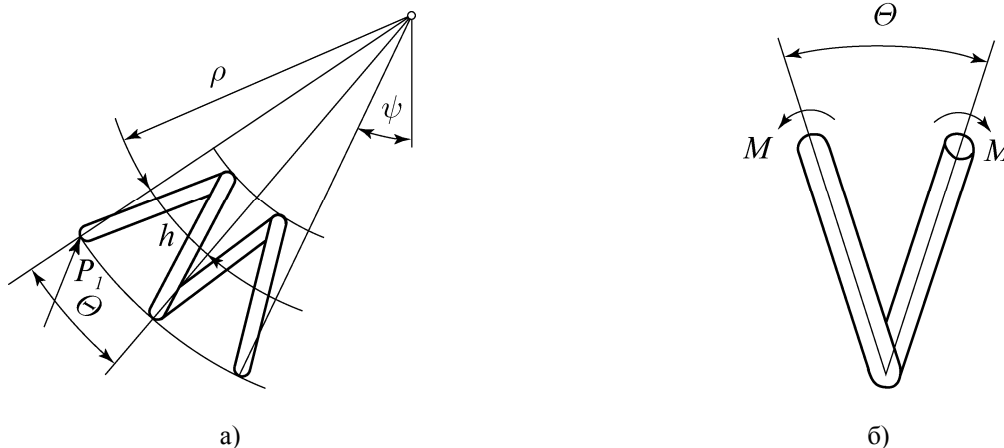


Рис. 4

Два витка, основной и дополнительный, образуют пружину с углом подъема витка $\beta = \arctg \frac{h}{\pi D}$ (h – шаг пружины), которая нагружается поперечной силой P_1 , обусловленной силой P (рис. 4).

Величина поперечной силы определится соотношением

$$P_1 = \frac{P \sin \gamma}{\cos(\beta + \psi)}.$$

Жесткость этой пружины на изгиб вычисляется в зависимости от взаимного поворота витков (рис. 4-а). Кроме изгибных перемещений виткам присущи перемещения сдвига в плоскости изгиба.

Если виток выделить сечениями, то в концевых сечениях витков возникают силы и моменты. Их величины определяются из условий равновесия [4]. Момент M создает взаимный поворот сечений на угол Θ (рис. 4-б).

Прогиб пружины, нагруженной поперечной силой, равен

$$f = f_{\text{и}} + f_{\text{сдв.}}$$

Изгибное перемещение

$$f_{\text{и}} = \frac{P_1 \ell^3}{3C_{\text{и}}}.$$

Здесь ℓ – длина пружины; $C_{\text{и}} = \frac{E_{\text{пр}} d^4 \ell}{32 \pi (2 + \mu)}$

($E_{\text{пр}}$ – модуль упругости проволоки; n – число витков; μ – коэффициент Пуассона).

Перемещение сдвига определяется формулой

$$f_{\text{сдв}} = \frac{P_1 \ell}{C_{\text{сдв}}}, \text{ в которой } C_{\text{сдв}} = \frac{E_{\text{пр}} d^4 \ell}{8D^3 n}.$$

Геометрические и упругие характеристики пружины найдены экспериментально. Проволока наматывалась на цилиндр диаметром 2 мм под натяжением, обеспечивающим прилегание витков друг к другу и к цилиндру, и это положение проволоки фиксировалось.

По истечении 20 мин, когда закончилась релаксация напряжений в проволоке, пружина разгружалась. Измерялись диаметр пружины и ее шаг. В нашем случае $D_0 = 3,6$ мм и $h = 1,8$ мм. Отсюда вычисляется длина пружины $\ell = nh = 2 \cdot 1,8 = 3,6$ мм.

Испытания проволоки на растяжение проведены на машине FP-100/10. При разрывной нагрузке 32 Н, площади поперечного сечения тридцати элементарных проволок $0,132 \text{ мм}^2$ и деформации $\varepsilon = 0,15$ модуль упругости $E_{\text{пр}} = 161613 \frac{\text{сН}}{\text{мм}^2}$.

Вследствие того, что проволока представляет собой совокупность отдельных элементарных проволок, коэффициент Пуассона можно принять равным $\mu = 0,5$.

Приведем численные значения силовых, жесткостных и геометрических характеристик петли с витком: $P_1 = 35,9$ сН;

$\beta = 9,1^\circ$; $C_{\text{н}} = 411,3 \text{ сН}\cdot\text{мм}^2$; $C_{\text{сдв}} = 313,7 \text{ сН}\cdot\text{мм}^2$; $f = 1,8 \text{ мм}$. Величина перемещения f точки b относится к осевой линии дополнительного витка. Наклон витка к плоскости полотна составляет $\arcsin \frac{1,8}{3,621} + 29,7 = 59^\circ$.

ВЫВОДЫ

На аналитическом уровне вычислено усилие контактного взаимодействия петель, величина которого довольно значительна и обусловлена формой нити и ее упругими свойствами. Получены значения смещения и угла наклона дополнительного витка, необходимые для моделирования и проектирования гибких и жестких композитов. Изложенная методика расчета

вследствие аналитического подхода к решению поставленных задач может быть распространена на любые нити и большую часть кулирного трикотажа.

ЛИТЕРАТУРА

1. Кудрявин Л.А., Заваруев В.А., Викторов В.Н., Лакеева О.Н. // Изв. вузов. Технология текстильной промышленности. – 2005, №2. С. 66...68.
2. Щербаков В.П. Прикладная механика нити. – М.: РИО МГТУ им. А.Н. Косыгина, 2001.
3. Попов Е.П. Теория и расчет гибких упругих стержней. – М.: Наука, 1986.
4. Феодосьев В.И. Избранные задачи и вопросы по сопротивлению материалов. – М.: Наука. 1996.

Рекомендована кафедрой механической технологии волокнистых материалов. Поступила 05.04.06.